

See discussions, stats, and author profiles for this publication at: <https://www.researchgate.net/publication/283909710>

A KÍSÉRLETI MODÁLIS ELEMZÉS MÓDUSINDIKÁCIÓS ÉS PARAMÉTERBECSLÉSI ELJÁRÁSAI

Conference Paper · August 2011

CITATIONS

0

READS

249

1 author:



Ferenc Pápai

Budapest University of Technology and Economics

9 PUBLICATIONS 20 CITATIONS

SEE PROFILE



A KÍSÉRLETI MODÁLIS ELEMZÉS MÓDUSINDIKÁCIÓS ÉS PARAMÉTERBECSLÉSI ELJÁRÁSAI

Dr. Pápai Ferenc, PhD

BME Közlekedésmérnöki Kar; Építőgépek, Anyagmozgatógépek és Üzemi Logisztika Tanszék
1111. Budapest, Bertalan L. u. 7-9.
papai_f@freemail.hu

Absztrakt: A kísérleti modális elemzés (EMA) modellképzési fázisának egyik fontos feladata a szerkezeten a vizsgált frekvenciatartományban érvényesülő módusok számának meghatározása, majd a kísérleti mérések adatai alapján a sajátértékek becslése. Az előadás bevezeti az ún. „Relatív Nyquist Kerületi Sebesség Diagramot”, melynek segítségével a lokálisan elvégzett mérések alapján olyan multireferenciás, globális összegző függvény képezhető, melynek maximumhelyei megbízhatóan kijelölik a vizsgált tartományba eső összes módust interferáló módusok esetén is, alkalmas a csillapítás közvetlen becslésére, továbbá komplex görbeillesztéssel alkalmas a sajátértékek iteratív meghatározására.

Kulcsszavak: Kísérleti modális elemzés, kísérleti modális elemzés, FRF, csillapítás, multireferenciás, módusindikáció

1. BEVEZETÉS

A kísérleti modális elemzés gyakorlatában a vizsgált rendszerre vonatkozóan a nemzetközi szakirodalomban három alapvető feltételezés szokásos: a rendszer *lineáris*, *időinvariáns* és *megfigyelhető*. Számos egyéb feltételezés is tehető, ilyen például a szimmetricitás és az egyszeres multiplicitású sajátértékek jelenléte. Ezeket a feltételeket teljesítő lengőrendszerek mozgásegyenlete:

$$\mathbf{M}\ddot{\mathbf{x}} + \mathbf{C}\dot{\mathbf{x}} + \mathbf{K}\mathbf{x} = \mathbf{f} \quad (1)$$

ahol, ha n a rendszer szabadságfokainak a száma, \mathbf{x} a lengőrendszer modelljének általánosított elmozdulás koordinátáiból alkotott n elemű oszlopvektor, mint az idő függvénye $\mathbf{x} = \mathbf{x}(t)$; \mathbf{M} , \mathbf{C} , $\mathbf{K} \in \mathbb{R}^{n \times n}$ rendre a tömeg-, csillapítási- és merevségi mátrix; $\mathbf{f} = \mathbf{f}(t)$ a rendszer mozgása által nem befolyásolt gerjesztő hatások n elemű oszlopvektora az idő függvényében.

$$\mathbf{Z}(\lambda) = \lambda^2 \mathbf{M} + \lambda \mathbf{C} + \mathbf{K} \quad (2)$$

a **rendszer mátrix**. A $\det \mathbf{Z}(\lambda) = 0$ karakterisztikus egyenlet λ_i , ($i = 1, 2, \dots, 2n$) gyökei a **sajátértékek**. A $\mathbf{Z}(\lambda_i) \mathbf{x}_i = \mathbf{0}$ és $\mathbf{y}_i^T \mathbf{Z}(\lambda_i) = \mathbf{0}^T$ homogén egyenletrendszerek megoldásai az \mathbf{x}_i jobboldali és \mathbf{y}_i^T baloldali sajátvektorok. A $\mathbf{Z}(\lambda)$ rendszer-mátrix inverze az **átviteli mátrix**, mely a $\lambda \neq \lambda_i$ helyeken az alábbi alakban írható [10]:

$$\mathbf{H}(\lambda) = \mathbf{Z}^{-1}(\lambda) = \mathbf{X}(\lambda \mathbf{E} - \mathbf{A})^{-1} \mathbf{\Theta}^{-1} \mathbf{Y}^T = \sum_{i=1}^{2n} \frac{\mathcal{G}_i^{-1} \mathbf{x}_i \mathbf{y}_i^T}{\lambda - \lambda_i} = \sum_{i=1}^n \left\{ \frac{\mathcal{G}_i^{-1} \mathbf{x}_i \mathbf{y}_i^T}{\lambda - \lambda_i} + \frac{(\mathcal{G}_i^*)^{-1} \mathbf{x}_i^* \mathbf{y}_i^{*H}}{\lambda - \lambda_i^*} \right\} = \sum_{i=1}^n \left\{ \frac{\mathbf{P}_i}{\lambda - \lambda_i} + \frac{\mathbf{P}_i^*}{\lambda - \lambda_i^*} \right\} \quad (3)$$

ahol $\mathbf{A} = \langle \lambda_i \rangle$ a spektrálmátrix, $\mathbf{X} = [\mathbf{x}_i]$ a jobboldali modálmátrix, $\mathbf{Y}^T = [\mathbf{y}_i^T]^T$ baloldali modálmátrix, $\mathbf{\Theta} = \langle \mathcal{G}_i \rangle$ a sajátvektorok normáló tényezője, $\mathbf{P}_i = \mathcal{G}_i^{-1} \mathbf{x}_i \mathbf{y}_i^T \in \mathbb{C}^{n \times n}$ az i -edik módushoz tartozó ún. *reziduum mátrix*. A spektrálmátrix diagonális, elemei a sajátértékek melyek a rendszer globális paraméterei, míg a reziduummátrixok elemei a rendszer lokális paraméterei. A λ_i komplex sajátértékeket valós és képzetes részre bontva: $\lambda_i = \delta_i + j\nu_i$. A λ_i sajátérték δ_i valós része a csillapítás, ν_i képzetes része, pedig a csillapított sajátkörfrekvencia.

(3)-ban $\lambda = j\omega$ helyettesítéssel a **frekvencia-függvény mátrixot** (továbbiakban *FRF* mátrix = **F**requency **R**esponse **F**unction) kapjuk. Az l -edik elmozdulás-koordináta mentén ható gerjesztés és a k -edik elmozdulás-koordináta válaszára vonatkozó *FRF* függvényt az EMA gyakorlatában a

$$H_{kl}(j\omega) = \frac{x_k(j\omega)}{f_l(j\omega)} = \frac{-1}{m_{kl}\omega^2} + \sum_{i=1}^{N_m} \left[\frac{P_{i,kl}}{j\omega - \lambda_i} + \frac{P_{i,kl}^*}{j\omega - \lambda_i^*} \right] + R_{kl}, \quad (4)$$

alakúra választják, ahol N_m a vizsgált körfrekvencia intervallumban detektált sajátfrekvenciák száma, m_{kl} effektív tömeg, R_{kl} maradó hajlékonyság. Az m_{kl} , R_{kl} tagokkal a vizsgált frekvenciatartományon kívül eső (ún. *outband*) módusoknak a vizsgált tartományban érvényesülő hatását veszik figyelembe.

A méréssel meghatározott *FRF* függvényeket a rezonanciahelyek detektálására, más néven módusindikációra, a modális paraméterek becslésére és a becsült paraméterek pontos értékének meghatározására használják.

2. MODÁLIS PARAMÉTEREK BECSLÉSI MÓDSZEREI

A modális paraméterek (Λ , X , Y ill. P_i elemeinek) becslésére az utóbbi 40 évben számos módszer került kifejlesztésre, a sokféleség okai a kísérleti mérési technikák különbözősége, a jelfelvétel lehetőségei, az FRF mátrix és az impulzus válasz mátrixának különböző analitikus alakjai. A paraméterbecslési módszerek osztályozását több szerző [1], ..., [7], több szempont szerint is elvégezte, ezek a szempontok a következők:

SDOF / MDOF: Egy-szabadságfokú, vagy több-szabadságfokú paraméterbecslés. Elkülönült módusoknál az egyszabadságfokú rendszereknél alkalmazott paraméterbecslési módszerek alkalmazhatók, interferáló módusoknál az átlapolt módusok becslését szimultán kell elvégezni [8], [9].

Lokális / globális becslés (SO/MO): Lokális módszerek egy kiválasztott k, l lokációban a mért $\hat{H}_{kl}(j\omega)$, vagy a $h_{kl}(t)$ impulzusválasz alapján végzik a becslést, a globális módszerek egyidejűleg több függvényen.

SI/MI Egyponthoz / Multireferenciás becslés: Egyponthoz input módszerek a paraméterbecslésbe a $H(j\omega)$ FRF mátrixnak csak egy oszlopát veszik figyelembe, ilyenkor a lokációk indexpárjában l rögzített, a k pedig futóindex. Multireferenciás módszereknél a gerjesztési lokáció l indexe is változik.

Modális-model / Direkt-modell: Modális modell képző módszerek az X, Y modálmátrixok és a Λ spektrálmátrix, míg a direkt modellt meghatározó módszerek közvetlenül az M, C, K becslését végzik.

Idő- / Frekvenciatartomány: Időtartománybeli módszerek a gerjesztési és válaszjelek időtartománybeli lefutását elemzik, a frekvenciatartománybeli módszerek a gerjesztési és válaszjelek spektrumát.

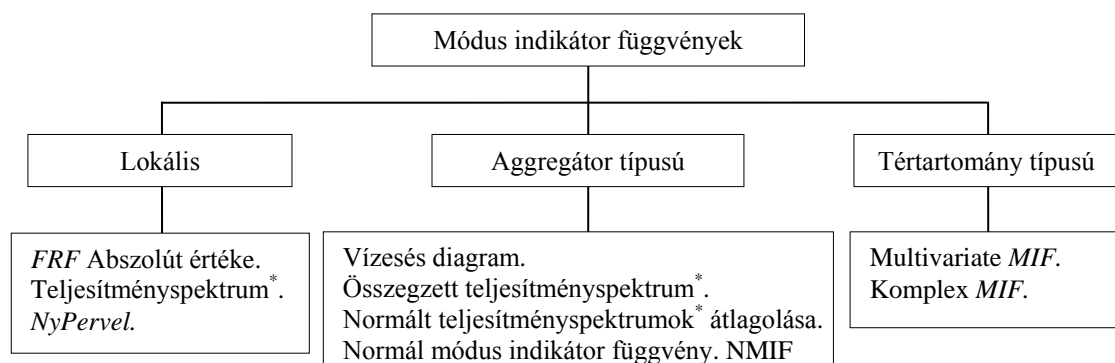
Sajátértékek / Módusok: A módszer a Λ sajátérték paramétereket, vagy pedig az X, Y lengéskép adatokat is meghatározza.

Valós / Komplex módusok: Klasszikus normál módusok esetén sajátvektorok valósak. Amennyiben a csillapítási mátrix nem elégíti ki a $CM^{-1}K = KM^{-1}C$ feltételt, a sajátvektorok elemei komplexek.

Az előadáson összefoglaló táblázatban tekintjük át az ismert módszereket.

3. MÓDUSINDIKÁTOR FÜGGVÉNYEK OSZTÁLYOZÁSA

A kísérleti modális elemzés gyakorlatának fontos lépése a szerkezet - vizsgált frekvencia tartományban érvényesülő - módusai számának meghatározása, továbbá egy durva kezdeti becslés a sajátfrekvencia értékekre. Valamely módus detektálhatósága az FRF függvényben lokációtól függő. Ez olyan módus-indikátor függvény alkalmazását teszi szükségessé, amelyben az összes módus detektálható, felismerhető. A módusindikátor függvények, számítási módszerük alapján az **1. ábrán** láthatóan három osztályba sorolhatók [10].



1. ábra. Módusindikátor függvények osztályozása

* A teljesítményspektrum matematikailag pontos elnevezése: spektrális sűrűség fv.

Lokális módusindikátor függvények csoportjába azok a hagyományos függvények tartoznak, melyek segítségével a módusdetektálást egyetlen lokáció mért $\hat{H}_{kl}(j\omega)$ FRF függvényének diagramjai alapján végzik.

Aggregátor típusú módusindikátor függvények, melyek a mért lokális FRF függvények alapján valamilyen származtatott mennyiséget képeznek, majd ezek átlagát képezik, melynek eredménye egyetlen spektrum. Az 'összegzőképletek nem tartalmaznak lokációra vonatkozó információkat, globális rendszerjellemzőknek tekinthetők. Az aggregátor típusú módusindikátor függvények a globális becslések csoportjába tartoznak.

Tértartomány típusú módusindikátor függvények a mért FRF függvények lokációra vonatkozó információkat megtartják, az általánosított koordináták terében keresnek sajátfrekvenciára vonatkozó szélsőértéket, [1], [4].

Viszonylag kevésbé ismert a **Nyquist kerületi sebesség** (Nyquist peripheral velocity) diagram, melynek alkalmazását **Béliveau** [9] vezette be a rezonanciák detektálására. Ezt egy kiválasztott lokációban a

$$NYPVEL_{kl}(j\omega) := \frac{dH_{kl}(j\omega)}{d\omega} = \frac{d}{d\omega} \sum_{i=1}^{2n} \frac{P_{ikl}}{j\omega - \lambda_i} = \sum_{i=1}^{2n} \frac{-jP_{ikl}}{(j\omega - \lambda_i)^2} \quad (5)$$

kifejezéssel definiálta. **Béliveau** eredetileg abszolútérték képzéssel alkalmazta, abban a formában a diagram a lokális módszerek közé sorolandó. A **6. fejezetben** megvizsgáljuk, hogy milyen módosításokkal alkalmazható a

NYPERVEL ($j\omega$) diagram aggregátor típusú módusindikátor függvényként.

4. PARAMÉTERBECSLÉS

A sajátérték és a reziduum paraméterek becslésének klasszikus módszerei mellett *Richardson* [11] differenciaformulákat publikált. Ezt továbbfejlesztve λ_i becslésére a

$$\lambda_i := \frac{-j}{2N_q + 1} \sum_{q=-N_q}^{N_q} \frac{\omega_{i_D+q} \cdot \hat{H}(j\omega_{i_D+q}) - (\omega_{i_D+q-1}) \cdot \hat{H}(j\omega_{i_D+q-1})}{\hat{H}(j\omega_{i_D+q}) - \hat{H}(j\omega_{i_D+q-1})}, \quad (6)$$

összefüggés alkalmazását javasoljuk, ahol ω_{i_D} detektált csillapított sajátkörfrekvencia, $\omega_{i_D} = i_D \cdot \Delta\omega$, $\Delta\omega$ körfrekvencia felbontás, $\hat{H}(j\omega_{i_D+q})$ az *FRF* mért értéke az $\omega_{i_D+q} = (i_D + q) \cdot \Delta\omega$ körfrekvencián, $2N_q + 1$ a becslésnél figyelembe vett pontok száma. A reziduumok kezdeti becslésére az alábbi összefüggés alkalmazható:

$$P_i := \frac{-j \cdot \Delta\omega}{2N_q + 1} \sum_{q=-N_q}^{N_q} \frac{\hat{H}(j\omega_{i_D+q}) \cdot \hat{H}(j\omega_{i_D+q-1})}{\hat{H}(j\omega_{i_D+q}) - \hat{H}(j\omega_{i_D+q-1})}. \quad (7)$$

5. GÖRBEILLESZTÉS

A mért *FRF* függvényekre az *FRF* karakterisztikáját leíró (4) alakú analitikus függvényt illesztnek. A mért $\hat{H}_{kl}(j\omega_r)$ és az illesztett $H_{kl}(j\omega)$ *FRF* függvény négyzetes eltérését minimalizáló funkcionál általános alakja

$$\varepsilon_{kl}(\mathbf{p}) = \sum_{r=1}^{\hat{N}} [\hat{H}_{kl}(j\omega_r) - H_{kl}(j\omega_r, \mathbf{p})] \cdot [\hat{H}_{kl}^*(j\omega_r) - H_{kl}^*(j\omega_r, \mathbf{p})], \quad (8)$$

Az $\varepsilon_{kl}(\mathbf{p})$ minimálása a \mathbf{p} vektor elemeire nézve nemlineáris egyenletrendszerre vezet. Az egyenletrendszer lineárisra redukálódik, ha a rendszerre nézve globális λ_i sajátértékeket konstans értéken tartjuk, és a \mathbf{p} vektorba csak a lokációtól függő $P_{i,kl}$, R_{kl} paramétereket, valamint az m_{kl} effektív tömeg reciprokát az $m'_{kl} = 1/m_{kl}$ paramétereket vonjuk be. Ezt a görbeillesztést **komplex lineáris görbeillesztésnek** nevezzük. A **komplex nemlineáris görbeillesztés** eljárása a (8)-ből származtatott egyenletrendszerbe bevonja a λ_i paramétereket is.

6. ÚJ MÓDUSINDIKÁTOR FÜGGVÉNY KIFEJLESZTÉSE

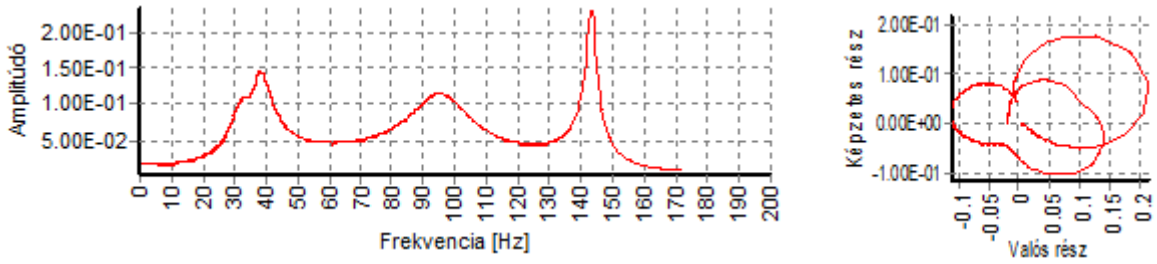
A **3. fejezetben** elemeztük a módusok detektálási problémáját. Numerikus kísérleti és gyakorlati mérési tapasztalatok alapján egy kifejlesztendő indikátorral szemben a következő kritériumok fogalmazhatók meg:

- Legyen globális, tehát az összes mért *FRF* függvényből képezhető valamely átlagképzéssel úgy, hogy tartalmazza a λ_i sajátértékekkel – mint globális jellemzőkkel – kapcsolatos információkat!
- Hordozza a (5) alatt definiált *Nyquist* kerületi sebesség diagram móduskiemelő tulajdonságait!
- Komplex alakú legyen, valamely módus modális kör formájában jelenjen meg, tehát alkalmazható legyen rá a komplex görbeillesztés eljárása!

A fenti szempontok teljesítésére a következőkben egy új, aggregátor típusú módusindikátort vezetünk be. Képezzük ehhez valamely k, l lokációra a $dH(j\omega)/d\omega$ *Nyquist* kerületi sebesség és a $H(j\omega)$ *FRF* függvény hányadosát úgy, hogy valamely i -edik módusra elhanyagoljuk a nem rezonáló módusokat és a rezonáló i -edik módusnak csak a főtagját tartjuk meg. Nevezzük emiatt „*Relatív Komplex Nyquist Kerületi Sebesség*” diagramnak (*RCNP = Relative Complex Nyquist Peripheral Velocity*), mely az alábbi összefüggéssel definiálható:

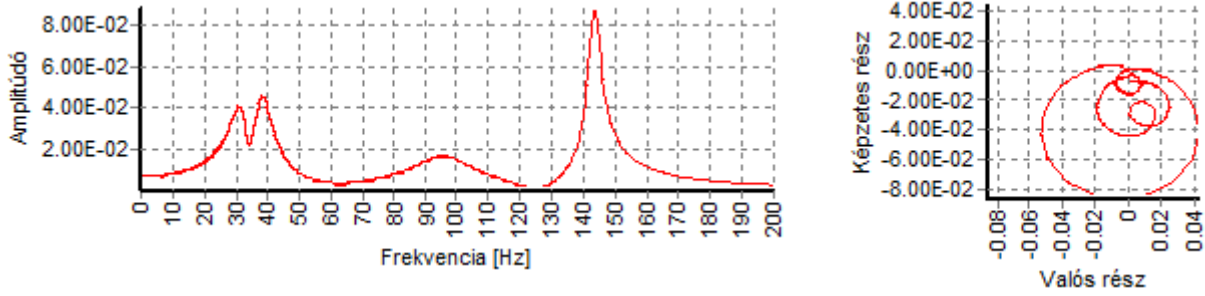
$$RCNP_i(j\omega) := \frac{dH_i(j\omega)}{H_i(j\omega)} \approx \frac{-jP_i}{\frac{(j\omega - \lambda_i)^2}{P_i}} = \frac{-j}{j\omega - \lambda_i} \quad (9)$$

Az *RCNP* diagram képzésénél tehát egy adott frekvenciaponthoz tartozó komplex *Nyquist* kerületi sebességet osztjuk az *FRF* függvény ugyanazon frekvenciaponthoz tartozó komplex függvényértékével. Ez a módusok detektálásával és globális becslésével kapcsolatos fenti feltételeket kielégíti, ezen kívül pedig, azzal a tulajdonsággal is rendelkezik, hogy az összes módust (reziduumot) $P_i = -j$ -re normálja [10]. Az *RCNP* diagram módusindikátorként való alkalmazását számos analitikus függvényen teszteltük, és megállapítottuk, hogy az *RCNP* diagram módusok detektálására alkalmas. Illusztrációként egy tesztpélda adataival generált *FRF* függvényen való alkalmazást mutatjuk be. A példa adatait úgy választottuk, hogy átlapoló módusok ($i=1; i=2$), kis csillapítású módus ($i=4$) és nagy csillapítású módus ($i=3$) is megtalálható legyen. A **2. ábrán** látható az analitikus *FRF* teszt függvényének grafikonjai, a **3. ábrán** pedig ennek *RCNP* diagramjai.



2. ábra. Analitikus *FRF* teszt függvény grafikonja

A két ábrát összehasonlítva megfigyelhető, hogy *RCNP* függvény amplitúdó-frekvencia diagramja jó móduskiemelő tulajdonságú, a *Nyquist* diagramján pedig látható, hogy az elkülönült módusok modal körrei a (-90°) közelébe fordulnak. Megjegyezzük, hogy a maximális amplitúdó-hely (-90°) -től való eltérésére ugyanazok a törvényszerűségek vonatkoznak, mint egy egy-szabadságfokú rendszer *Nyquist* diagramjánál.



3. ábra. Analitikus *RCNP* teszt függvény

A választott teszt példák görbeillesztései erősen interferáló módusokra is a gyakorlat számára elfogadható eredményeket adtak. Méréssel meghatározott, diszkrét frekvenciapontokon értelmezett *FRF* függvényen a (9) alatt definiált *RCNP* függvényt differenciáhányaddal való közelítésként az

$$RCNP(j\omega_r) = \frac{\hat{H}_{r+1} - \hat{H}_r}{\hat{H}_r \cdot \Delta\omega} \quad r = 0, \dots, \hat{N} - 1 \quad (10)$$

összefüggés alkalmazható, ahol $\Delta\omega$ körfrekvencia-felbontás, $\omega_r = r \cdot \Delta\omega$, diszkrét körfrekvencia értékek, H_r, H_{r+1} az *FRF* függvény mért értéke az ω_r, ω_{r+1} körfrekvenciákon.

Csillapítás közvetlen becslése *RCNP* diagramon.

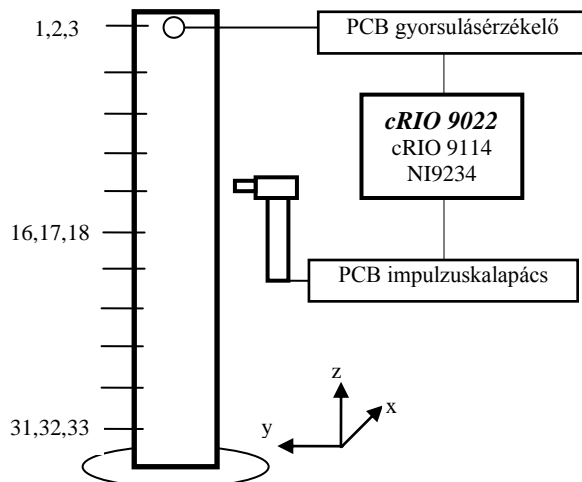
Az *RCNP*($j\omega$) függvény közvetlenül alkalmas a δ_i csillapítás közvetlen becslésére is, ugyanis, ha (9) összefüggésben az $\omega = \nu_i$ helyettesítéssel (a csillapított sajátfrekvencia kezdeti becslése)

$$RCNP_i(j\nu_i) = \frac{-j}{j\nu_i - \lambda_i} = \frac{j}{\delta_i} \quad (11)$$

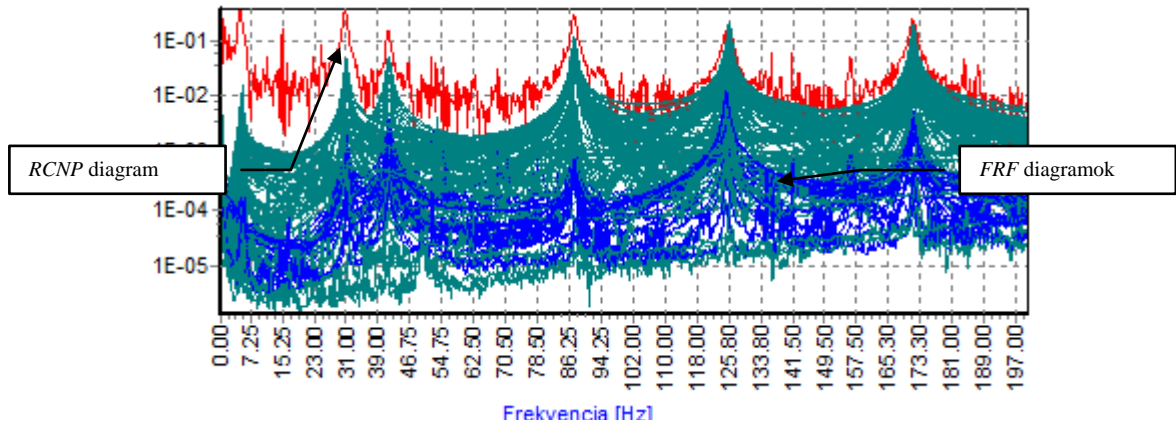
7. *RCNP* DIAGRAM MÓDUSINDIKÁTORKÉNT VALÓ ALKALMAZÁSA

A kísérleti vizsgálatok során a 4. ábrán látható befogott rúdon végeztünk méréseket. A vizsgált prizmatikus rúd ($10 \times 97 \times 1300$ mm) egyik végén befogott, másik végén szabad. Az alkalmazott műszer-összeállítás blokkvázlata az ábrán látható.

A gerjesztés és a válaszjel mérések (egyaránt) mindkét vízszintes (xy) irányban történtek. Mért lokációk összes száma 153. Az átlagolt *RCNP* diagram aggregátor típusú módusindikátorként való alkalmazását a befogott rúd *EMA* mérésein is ellenőriztük. A kísérleti mérések vízesés diagramja és az átlagolt *RCNP* diagram látható az 5. ábrán.



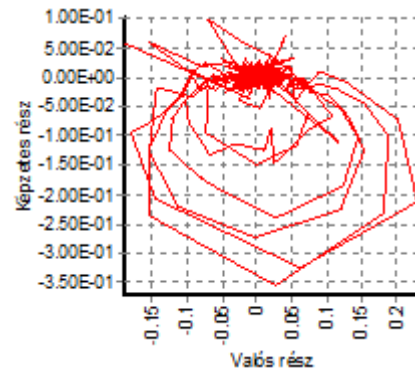
4. ábra. Klasszikus *EMA SISO FRF* mérési összeállítás



5. ábra. Befogott rúd méréseinek diagramja és átlagolt RCNP diagramja (Log. Amplitúdó- Frekv.)

Az RCNP diagram alkalmazása azért előnyös, mert a befogott rúd vizsgálatánál az X irányú gerjesztés és X irányú válaszmérési lokációk FRF diagramjain az Y irányú hajlítólengések módusai nem detektálhatók. Ugyanígy a szerkezet középvonalában X irányban gerjesztett és mért FRF diagramokon a $\sim 125.8\text{Hz}$ -es (első torziós) módus sem detektálható. Az aggregált RCNP diagramon viszont ezek a módusok is megkülönböztethetők.

A 6. ábrán mutatjuk be a kísérleti mérések átlagolt RCNP diagramját a Nyquist síkon való ábrázolásban. Megfigyelhető, hogy mind a 6 módus modál köre a Nyquist síkon a $(-\pi/2)$ irányba fordult. A kísérleti mérések alapján származtatott RCNP diagram a rezonanciafrekvenciákon kívüli tartományokban zajosak.



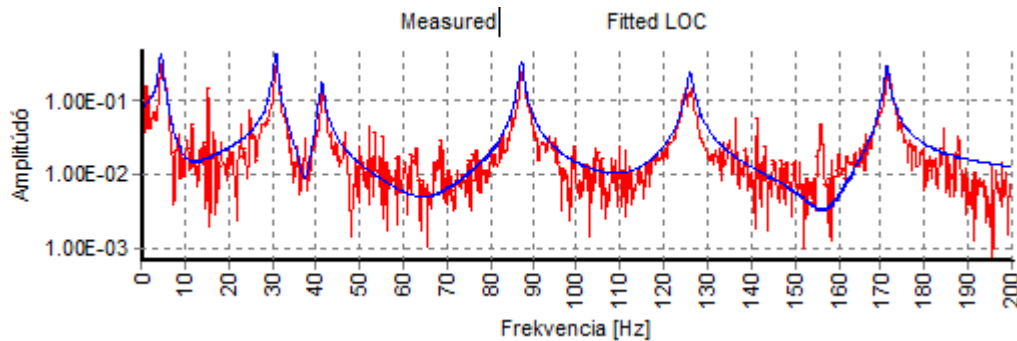
6. ábra. Befogott rúd átlagolt RCNP diagramja (Nyquist-plot)

Differenciaformulák aggregált RCNP függvényen

A sajátértékek kezdeti becslésére szolgáló (6),(7) differenciaformulák a lokális FRF függvények mellett a kifejesztett RCNP módusindikátor függvényen is alkalmazhatók, akár valamely lokális FRF függvényből képezett, akár az aggregált globális RCNP függvényen. Ehhez (6) összefüggésben $\hat{H}(j\omega_{i_d+q})$ helyébe lokális esetben egyetlen mért FRF függvény alapján számított RCNP függvényt, aggregált esetben pedig az átlagolt RCNP függvényt kell helyettesíteni. Tehát a sajátérték becslés differenciaformulája RCNP diagramra:

$$\lambda_i := \frac{-j}{2N_q + 1} \sum_{q=-N_q}^{N_q} \frac{\omega_{i_d+q} \cdot RCNP(j\omega_{i_d+q}) - (\omega_{i_d+q-1}) \cdot RCNP(j\omega_{i_d+q-1})}{RCNP(j\omega_{i_d+q}) - RCNP(j\omega_{i_d+q-1})} \quad (13)$$

A 7. ábrán a befogott rúd EMA mérései alapján képzett aggregált RCNP diagram differenciaformulákkal való sajátérték és reziduum-becslésének eredményei láthatók.

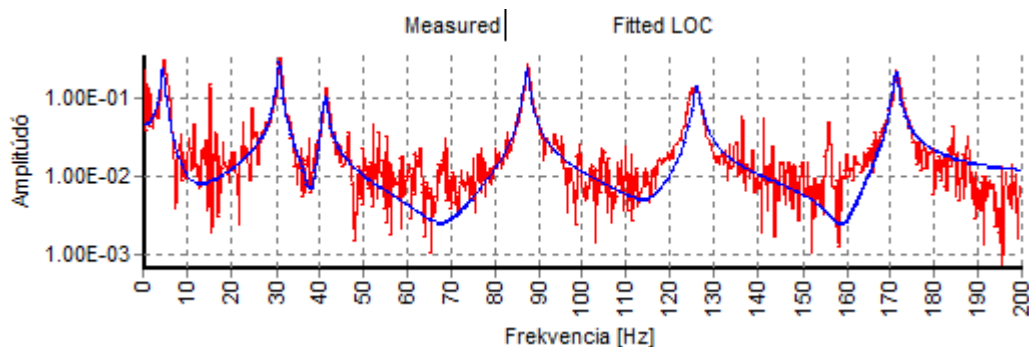


7. ábra. Kezdeti becslés differenciaformulákkal aggregált RCNP függvényen.

Az ábrát értékelve belátható, hogy az RCNP függvény maga is egy deriváltfüggvény, ezért a mérési zaj (logaritmikus ábrázolás) nagyobb hatása. Az RCNP diagram viszont aggregátorfüggvény, a zajt simítja, így segítségével az összes módust detektálható.

Komplex lineáris görbeillesztés RCNP függvényeken

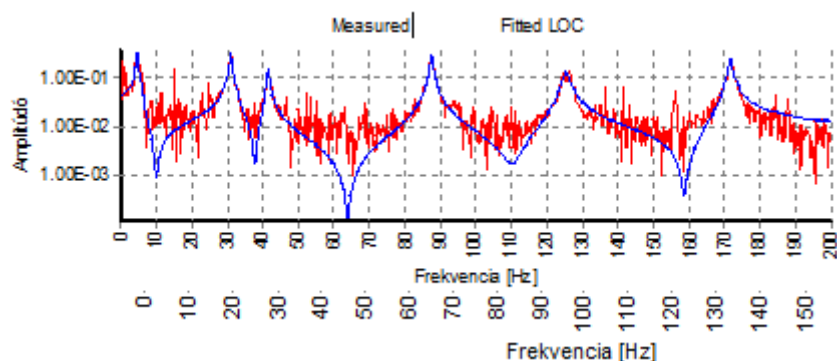
A komplex lineáris görbeillesztés lokális *FRF* függvények mellett aggregált *RCNP* függvényeken is alkalmazható. A 8. ábrán az aggregált *RCNP* diagram alapján végzett komplex lineáris görbeillesztés eredményei láthatók.



8. ábra. Befogott rúd. Komplex lineáris görbeillesztés aggregált *RCNP* függvényen

Komplex nemlineáris görbeillesztés RCNP függvényeken

A komplex nemlineáris görbeillesztés alkalmazási példaként tekintünk a 9. ábrát, mely a befogott rúd aggregált *RCNP* görbeillesztésének eredményeit mutatják. Megállapítható, hogy a komplex nemlineáris görbeillesztés a kifejlesztett aggregált *RCNP* diagramon is konvergál.



9. ábra. Befogott rúd komplex nemlineáris görbeillesztése aggregált *RCNP* függvényen. WINMOD

Az aggregált *RCNP* diagramon a - lokális *FRF* függvényekkel szemben - valamennyi módus indikálható, azokra kezdeti becslés határozható meg, továbbá pontos komplex nemlineáris görbeillesztés végezhető el.

A görbeillesztések elvégzése után a modális modell képzésének további lépései a spektrálmátrix összeállítása, a reziduummátrixok elemei alapján a sajátvektorok szintetizálása, majd ezekből a modálmátrixok előállítása.

Köszönetnyilvánítás: A megvalósítást az ÚMFT TÁMOP-4.2.1/B-09/1/KMR-2010-0002 programja támogatja

HIVATKOZÁSOK

1. R. J. Allemang. Modal Parameter Estimation, Overview/Review. *Structural Dynamics Research Laboratory University of Cincinnati*, 2002, 1-46.
2. M. S. Allen. Global and Multi-Input-Multi-Output (MIMO) Extensions of the Algorithm of Mode Isolation (AMI) *Ph.D. Dissertation (2005) Georgia Institute of Technology* p: 128.
3. D. Brown, G. Carbon, K. Ramsey. Survey of Excitation Techniques Applicable to the Testing of Automotive Structure. *International Automotive Engineering Congress and Exposition*. Detroit, II.28. – III. 4. 1977. SAE-Paper No: 770029,15, pp. 1977.
4. P. Sas, W. Heylen, S. Lammens. Modal Analysis Theory and Testing. *Katholieke Universiteit Leuven, Departement Werktuigkunde*, Belgium, 1998.
5. M. Lee, M. Richardson. Determining the Accuracy of Modal Parameter Estimation Methods. *IMAC X February 1992, 1-8*.
6. N. M.M. Maia, J.M.M. Silva. Modal analysis identification techniques. *Phil. Trans. R. Soc. Lond. A* (2001) 359, 29–40.
7. B. Schwarz, M. H. Richardson. Modal Parameter Estimation from Operating Data. *SOUND AND VIBRATION JANUARY 2003* pp:1-8.
8. R. R. Craig, M.A. Blair. A Generalized Multiple-Input, Multiple Output Modal Parameter Estimation Algorithm. *AIAA Journal*. Vol. 23, No. 6, June 1985.
9. J. G. Béliveau. First Order Formulation of Resonance Testing. *Journal of Sound and Vibration* (1979)65(3), pp:319-327.
10. Pápai Ferenc. Építő és anyagmozgató gépek teherviselő elemeinek szerkezeti diagnosztikája a kísérleti modális elemzés alkalmazásával. *PhD értekezés*. 2007.
11. M. H. Richardson. Modal Analysis Using Digital Test Systems. *Hewlett-Packard Publication* 1975.